

III-181 NATMにおける内空変位測定の評価方法(その2)

(株)熊谷組 正会員 松尾 勉
 ◇ ◇ 大塚 本夫
 ◇ ◇ 上野 正高

1. はじめに

NATMにおける内空変位測定の結果を有効に活用する目的でトンネル周辺の応力及び変位の計算方法論について別論文で述べた。この論文では、もう少し具体的に計算する方法について考察する。実際面での活用方法は紙面の関係上別の機会で発表する予定である。

2. トンネルの形状

種々のトンネル形状に対しこの一般式として(1)式を導く。

$$w(\xi) = \xi + d\xi = \xi + b\frac{1}{3} + C\frac{1}{3}\xi + d\frac{1}{3}\xi^2 + e\frac{1}{3}\xi^3 \quad (1)$$

(1)式での ξ -平面上で示される座標は次式で表される。

$$\begin{aligned} x &= (1+b)\cos\theta + C\cos 2\theta + d\cos 3\theta + e\cos 4\theta \\ y &= (1-b)\sin\theta - C\sin 2\theta - d\sin 3\theta - e\sin 4\theta \end{aligned} \quad (2)$$

(2)式にて、 $b \sim e$ の係数を定めることにより種々のトンネル形状が考案される。 $b = C = d = e = 0$ の場合は、円形トンネルの形状になる。

3. 応力関数の計算

トンネル周辺に一定応力分布状態に作用しているところにトンネルを掘削する。 $\xi = \infty$ では一定応力状態を満足する応力関数として次式を考える。

$$\begin{aligned} \varphi(\xi) &= A\xi \\ \psi(\xi) &= B\xi^2 \end{aligned} \quad (3)$$

平面で(3)式を考えると $\xi = \infty$ と $\xi = 0$ は対応するので、(3)式は $\xi = \infty$ で一定応力になる場合。

$$\begin{aligned} \varphi(\xi) &= A\xi, \quad \varphi'(\xi) = A \\ \psi(\xi) &= B\xi^2, \quad \psi'(\xi) = 2B\xi \end{aligned} \quad (4)$$

自由度の条件として次式が満足されなければならない。

$$\overline{\varphi(\xi)} + \{\overline{\varphi'}(\xi) + \psi(\xi)\} = 0 \quad (5)$$

補助関数 $X(\xi)$ を用いると(5)式は

$$X(\xi) = \overline{\varphi'}(\xi) + \psi(\xi) \quad (6)$$

(6)式に(3)及び(4)式の関係を代入すると、

$$X(\xi) = \left(\frac{1}{3} + b\xi + C\xi^2 + d\xi^3 + e\xi^4\right)A + 2B\xi \quad (7)$$

ただし トンネル壁面上では、 $\xi \bar{\xi} = 1$ の関係が成立しなければならないことを考慮する。

$\xi = \infty$ では(7)式は

$$X(\xi) = \left(b\xi + C\xi^2 + d\xi^3 + e\xi^4\right)A + 2B\xi \quad (8)$$

トンネル壁面では

$$\varphi(\xi) = -\overline{\chi(\xi)} = -\left(b\frac{1}{3} + C\frac{1}{3}\xi + d\frac{1}{3}\xi^2 + e\frac{1}{3}\xi^3\right)A - 2B\frac{1}{3} \quad (9)$$

したがって、応力関数 $\varphi(\xi)$ 及び補助関数 $X(\xi)$ はそれぞれ(11)及び(12)式として求められる。

$$\varphi(\xi) = A\xi - \left(b\frac{1}{3} + C\frac{1}{3}\xi + d\frac{1}{3}\xi^2 + e\frac{1}{3}\xi^3\right)A - 2B\frac{1}{3} \quad (11)$$

$$X(\xi) = \left(b\xi + C\xi^2 + d\xi^3 + e\xi^4\right)A + 2B\xi - A\frac{1}{3} \quad (12)$$

(11)及び(12)式より $\varphi'(\xi)$ は

$$\begin{aligned} \varphi'(\xi) &= X(\xi) - \overline{\chi(\xi)} \cdot \varphi(\xi) \\ &= \left(b\xi + C\xi^2 + d\xi^3 + e\xi^4\right)A + 2B\xi - A\frac{1}{3} - \left(\frac{1}{3} + b\xi + C\xi^2 + d\xi^3 + e\xi^4\right) \\ &\quad + \left(C\xi^2 + d\xi^3 + e\xi^4\right) \left[A + \left(b\frac{1}{3} + 2C\frac{1}{3}\xi + 3d\frac{1}{3}\xi^2 + 4e\frac{1}{3}\xi^3\right)A + 2B\frac{1}{3}\right] \end{aligned} \quad (13)$$

ここで、係数 A 及び B は無限遠の条件から求められ、

$$A = \frac{\alpha_x + \alpha_y}{4}, \quad B = \frac{1}{2} \left(\frac{\alpha_y - \alpha_x}{Z} + i Z \alpha_z \right)$$

となる。一般の場合は $\alpha_y = P_V$, $\alpha_x = P_H = \lambda P_V$ として用いるが、座標上の問題で $\alpha_x = P_V$, $\alpha_y = P_H = \lambda P_V$ として用いることになると(11)式は(14)式となる。

$$\begin{aligned} \varphi(\xi) &= (1+\lambda)P_V\xi - (1+\lambda)P_V \left(b\frac{1}{3} + C\frac{1}{3}\xi + d\frac{1}{3}\xi^2 + e\frac{1}{3}\xi^3\right) \\ &\quad + (1-\lambda)P_V\frac{1}{3} \end{aligned} \quad (14)$$

(その1)で示した応力関数は(14)式の第1項目を省いたもので計算では後で加算される。(Z軸が垂直で、Y軸が水平になっていることに注意)

4. トンネル周辺応力($r = \alpha$ トンネル壁面)

$$\sigma_\theta + \sigma_r = 4 \left(\frac{\varphi'(\xi)}{1+d\xi^3} + \frac{\overline{\varphi'(\xi)}}{1+d\xi^3} \right) \quad (15)$$

$r = \alpha$ では、 $\sigma_r = 0$, $\sigma_\theta = 0$ になるので応力は非常に簡単になる。

(14)式を用いて、各項ごとに計算する。

第1項は、 $A_1 = (1+\lambda)P_V$ (16)

第2項は、 $A_2 = -(1+\lambda)P_V \left[\frac{\alpha'_z}{1+d\xi^3} + \frac{\overline{\alpha'_z}}{1+d\xi^3} \right]$ (17)

第3項は、 $A_3 = (1-\lambda)P_V \left[\frac{1}{Z^2(1+d\xi^3)} + \frac{1}{\overline{Z^2}(1+d\xi^3)} \right]$ (18)

$$\begin{aligned}\Delta' S &= -b \frac{1}{\sin^2 \theta} - 2C \frac{1}{\sin^3 \theta} - 3d \frac{1}{\sin^4 \theta} - 4e \frac{1}{\sin^5 \theta} \\ &= -(b e^{-2i\theta} + 2C e^{-3i\theta} + 3d e^{-4i\theta} + 4e e^{-5i\theta}) \\ &= -(b(\cos 2\theta - i\sin 2\theta) + 2C(\cos 3\theta - i\sin 3\theta) + 3d(\cos 4\theta - i\sin 4\theta) + 4e(\cos 5\theta - i\sin 5\theta)) \quad (19)\end{aligned}$$

$$\begin{aligned}\Delta S &= -(b e^{2i\theta} + 2C e^{3i\theta} + 3d e^{4i\theta} + 4e e^{5i\theta}) \\ &= -(b(\cos 2\theta + i\sin 2\theta) + 2C(\cos 3\theta + i\sin 3\theta) + 3d(\cos 4\theta + i\sin 4\theta) + 4e(\cos 5\theta + i\sin 5\theta)) \quad (20)\end{aligned}$$

$$\begin{aligned}A_2 &= -2(1+\lambda) P_V \frac{(b \sin 2\theta + 2C \sin 3\theta + 3d \sin 4\theta + 4e \sin 5\theta)^2 (b \cos 2\theta + 2C \cos 3\theta + 3d \cos 4\theta + 4e \cos 5\theta)^2}{(1-b \cos 2\theta - 2C \cos 3\theta - 3d \cos 4\theta - 4e \cos 5\theta)^2} \\ &\quad + \frac{2C \cos 3\theta + 3d \cos 4\theta + 4e \cos 5\theta}{(b \sin 2\theta + 2C \sin 3\theta + 3d \sin 4\theta + 4e \sin 5\theta)^2} \\ &\quad - \underline{3d \cos 4\theta - 4e \cos 5\theta} \quad (21)\end{aligned}$$

$$\begin{aligned}A_3 &= -2(1-\lambda) P_V \frac{\cos 2\theta - b - 2C \cos 3\theta - 3d \cos 4\theta - 4e \cos 5\theta}{(\cos 2\theta - b - 2C \cos 3\theta - 3d \cos 4\theta - 4e \cos 5\theta)^2} \\ &\quad + (\sin 2\theta + 2C \sin 3\theta + 3d \sin 4\theta + 4e \sin 5\theta)^2 \quad (22)\end{aligned}$$

$$\bar{G}_\theta = A_1 + A_2 + A_3 \quad (23)$$

5. トンネル周辺の変位

この場合もトンネル壁面にのみにかぎると非常に簡単になり次式で求められる。

$$\begin{aligned}U_r + iV_\theta &= \frac{P_V a}{4G} \sqrt{\frac{w'}{w}} \left\{ (1+\lambda)[1 - \alpha e^{-i\theta} \Delta S] \right. \\ &\quad \left. - (1-\lambda)[e^{-i\theta} \Delta S - \alpha e^{-2i\theta}] \right\} \quad (24)\end{aligned}$$

(24)式において、

$$\begin{aligned}\frac{\sqrt{w'}}{w'} &= \frac{(1-b \cos 2\theta - 2C \cos 3\theta - 3d \cos 4\theta - 4e \cos 5\theta)}{\sqrt{(1-b \cos 2\theta - 2C \cos 3\theta - 3d \cos 4\theta - 4e \cos 5\theta)^2}} \\ &\quad - \frac{i(b \sin 2\theta + 2C \sin 3\theta + 3d \sin 4\theta + 4e \sin 5\theta)}{(b \sin 2\theta + 2C \sin 3\theta + 3d \sin 4\theta + 4e \sin 5\theta)^2}\end{aligned}$$

$$\begin{aligned}e^{-i\theta} \Delta S &= (b \cos 2\theta + 2C \cos 3\theta + 3d \cos 4\theta + 4e \cos 5\theta) \\ &\quad - i(b \sin 2\theta + 2C \sin 3\theta + 3d \sin 4\theta + 4e \sin 5\theta)\end{aligned}$$

$$\begin{aligned}e^{-i\theta} \Delta S &= (b + C \cos \theta + d \cos 2\theta + e \cos 3\theta) \\ &\quad + i(c \sin \theta + d \sin 2\theta + e \sin 3\theta)\end{aligned}$$

$$U_r = \frac{P_V a}{4G} \cdot \frac{1}{\sqrt{(1-b \cos 2\theta - 2C \cos 3\theta - 3d \cos 4\theta - 4e \cos 5\theta)^2}}$$

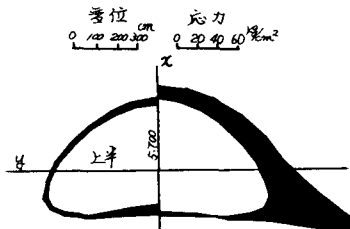
$$+ (b \sin 2\theta + 2C \sin 3\theta + 3d \sin 4\theta + 4e \sin 5\theta)^2 \cdot$$

$$\begin{aligned}&\times \left\{ (1+\lambda)[(1-b \cos 2\theta - 2C \cos 3\theta - 3d \cos 4\theta - 4e \cos 5\theta) \right. \\ &\quad \left. - \alpha((1-b \cos 2\theta - 2C \cos 3\theta - 3d \cos 4\theta - 4e \cos 5\theta)(b \cos 2\theta + 2C \cos 3\theta + 3d \cos 4\theta + 4e \cos 5\theta)] \right\} \quad (25)\end{aligned}$$

$$\begin{aligned}&+ C \cos 3\theta + d \cos 4\theta + e \cos 5\theta) - (b \sin 2\theta + 2C \sin 3\theta + 3d \sin 4\theta + 4e \sin 5\theta) \\ &+ 4e \sin 5\theta)(b \sin 2\theta + 2C \sin 3\theta + 3d \sin 4\theta + 4e \sin 5\theta)] \\ &- (1-\lambda)[(1-b \cos 2\theta - 2C \cos 3\theta - 3d \cos 4\theta - 4e \cos 5\theta)(b + C \cos \theta \\ &+ d \cos 2\theta + e \cos 3\theta) + (b \sin 2\theta + 2C \sin 3\theta + 3d \sin 4\theta + 4e \sin 5\theta) \\ &\times (C \sin \theta + d \sin 2\theta + e \sin 3\theta) - \alpha((1-b \cos 2\theta - 2C \cos 3\theta - 3d \cos 4\theta - 4e \cos 5\theta) \cos 2\theta - (b \sin 2\theta + 2C \sin 3\theta + 3d \sin 4\theta + 4e \sin 5\theta) \sin 2\theta)]\} \quad (25)\end{aligned}$$

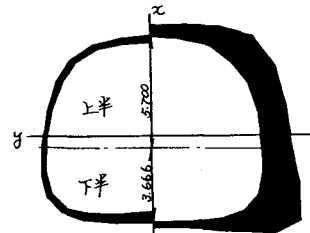
$$V_\theta = -\frac{P_V a}{4G} \frac{1}{\sqrt{(1-b \cos 2\theta - 2C \cos 3\theta - 3d \cos 4\theta - 4e \cos 5\theta)^2}}$$

$$\begin{aligned}&\times [(1+\lambda)[(b \sin 2\theta + 2C \sin 3\theta + 3d \sin 4\theta + 4e \sin 5\theta) - \alpha((1-b \cos 2\theta - 2C \cos 3\theta - 3d \cos 4\theta - 4e \cos 5\theta)(b \sin 2\theta + 2C \sin 3\theta + 3d \sin 4\theta + 4e \sin 5\theta))] \\ &+ (1-\lambda)[(1-b \cos 2\theta - 2C \cos 3\theta - 3d \cos 4\theta - 4e \cos 5\theta)(C \sin \theta + d \sin 2\theta + e \sin 3\theta) - (b \sin 2\theta + 2C \sin 3\theta + 3d \sin 4\theta + 4e \sin 5\theta) \\ &\times (b + C \cos \theta + d \cos 2\theta + e \cos 3\theta) - \alpha((1-b \cos 2\theta - 2C \cos 3\theta - 3d \cos 4\theta - 4e \cos 5\theta) \sin 2\theta - (b \sin 2\theta + 2C \sin 3\theta + 3d \sin 4\theta + 4e \sin 5\theta) \cos 2\theta)]]\} \quad (26)\end{aligned}$$



(a) 上半掘削時

$$a=422 \text{cm}, b=-0.3, c=0.15, d=-0.025, e=0, P_V=16.9 \text{cm}^2, G=1.20 \text{kg/cm}^2, \lambda=0.666, \nu=0.4, R=1.4$$



(b) 下半掘削時

$$a=541 \text{cm}, b=-0.075, c=0.06, e=0, P_V=16.9 \text{cm}^2, G=1.20 \text{kg/cm}^2, \lambda=0.666, \nu=0.4, R=1.4$$

Fig-1. 上半及び下半掘削時の変位及び応力分布

6. 結 論

詳細の円座標変位の評価法については、紙面の都合上、次回に発表したい。